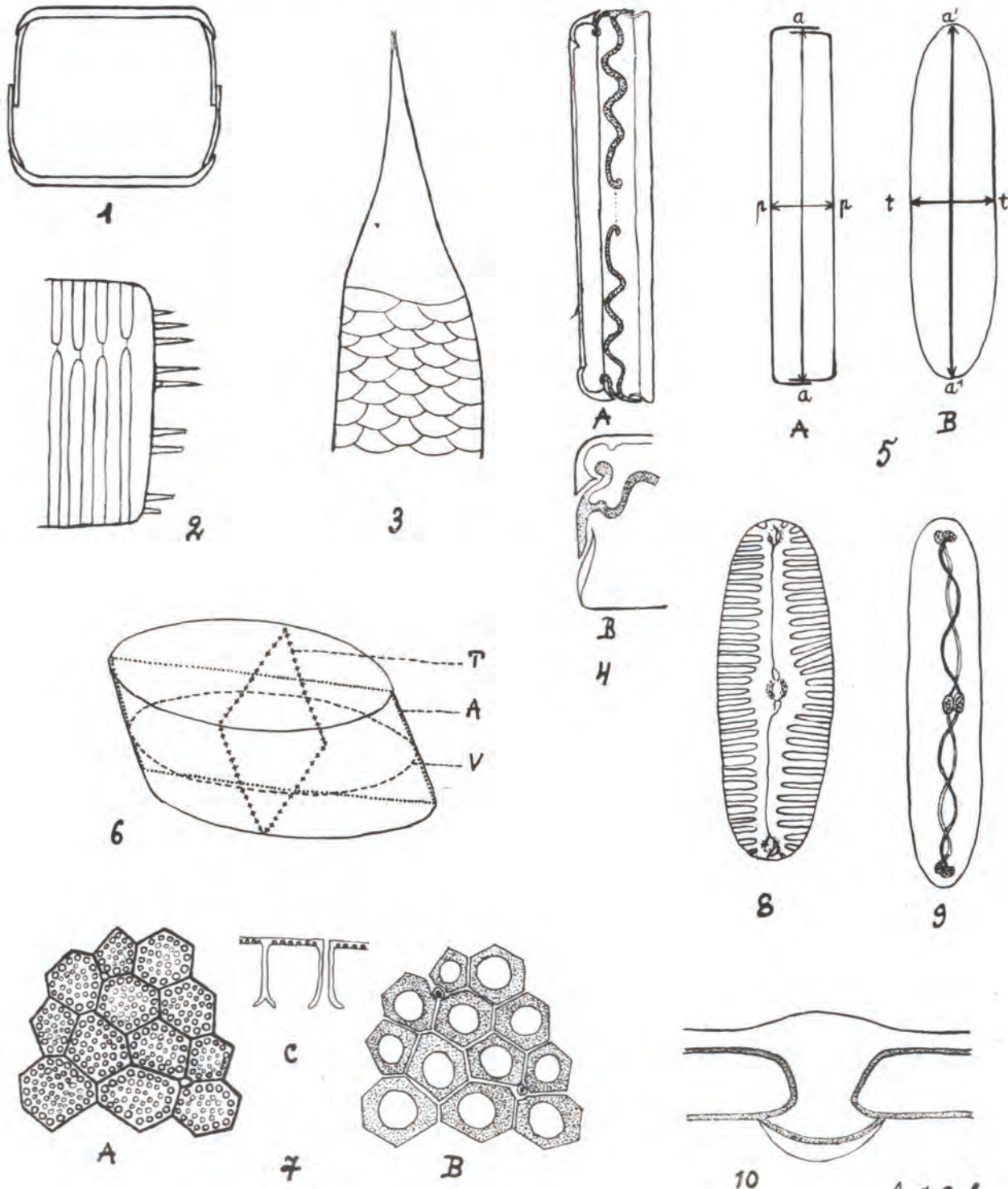
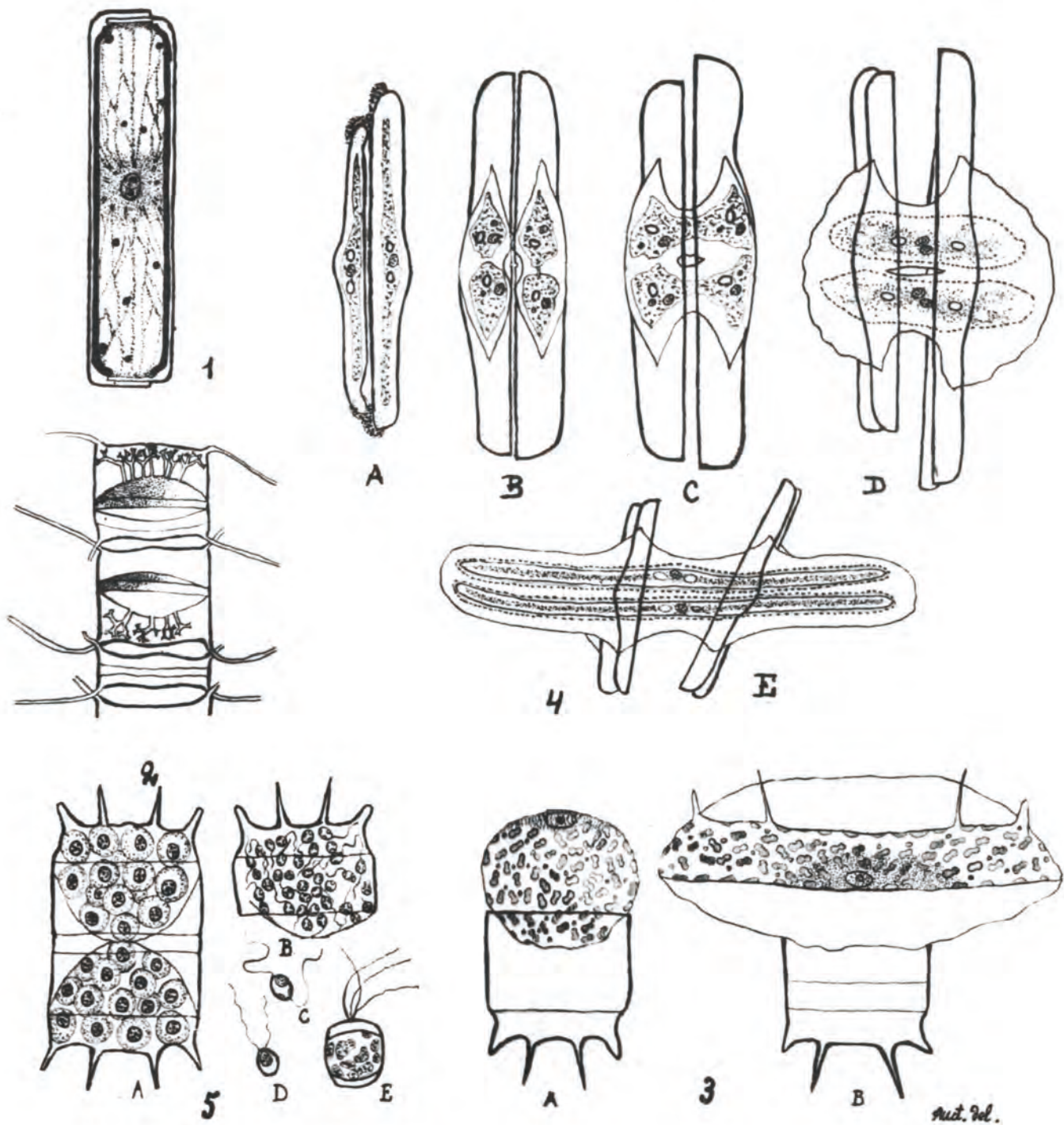


Diatoms from:

Trégouboff, G. Rose, M. 1957. Manual de
Planctonologie Méditerranéenne. Tome II
Illustrations. Centre National de la
Recherche Scientifique, Paris.

Fig. 1. Coupe schématique de la frustule; fig. 2. Bandes intercalaires annulaires discontinues de *Lauderia annulata*, d'après Hustedt; fig. 3. Bandes intercalaires en écailles de *Rhizosolenia bergonii*, d'après Hustedt; fig. 4. Bandes intercalaires et septum de *Grammatophora*, d'après Müller (*in* Hustedt); fig. 5. Axes de symétrie de la frustule : A-vue par ceinture, B-vue par la valve; a-a, a'-a'-axes apicaux, p-p-axe perivalvaire, t-t-axe transapical; fig. 6. Plans de symétrie de frustules : +++T-plan transapical, ---V-plan valvaire, ... A-plan apical, d'après Hustedt; fig. 7. *Coscinodiscus asteromphalus* : ornementation de la frustule : A-surface avec poroïdes et pore du canal de bordure; B-aspect de la valve vue en profondeur avec orifices des chambres et pores des canaux de bordure; C-coupe perpendiculaire de la paroi, d'après Hustedt; fig. 8. *Pinnularia lata* : frustule avec raphé et ornementation pennée, d'après Hustedt; fig. 9. *Pinnularia viridis* : raphé, d'après Müller; fig. 10. *Pinnularia viridis* : union des canaux du raphé dans le nodule central, d'après Müller.





Aut. 9el.

Fig. 1. *Pinnularia major* : corps plasmatique, d'après Lauterborn; fig. 2. *Chaetoceros subsecundus* (Gran); endospore, d'après Gran; fig. 3. *Biddulphia mobiliensis*; A-B : 2 stades d'auxosporulation, d'après Bergon (in Dangeard); fig. 4. *Rhopalodia gibba*. A-E : auxosporulation, d'après Klebahn (in Hustedt); fig. 5, A-C : *Biddulphia mobiliensis* : microsporulation, d'après Bergon; D-*Coscinodiscus oculus iridis*, microspore, d'après Pavillard; E-*Melosira varians* : zygote avec 4 flagellés, montrant l'ébauche des nouvelles valves, d'après Schmidt (in Dangeard).

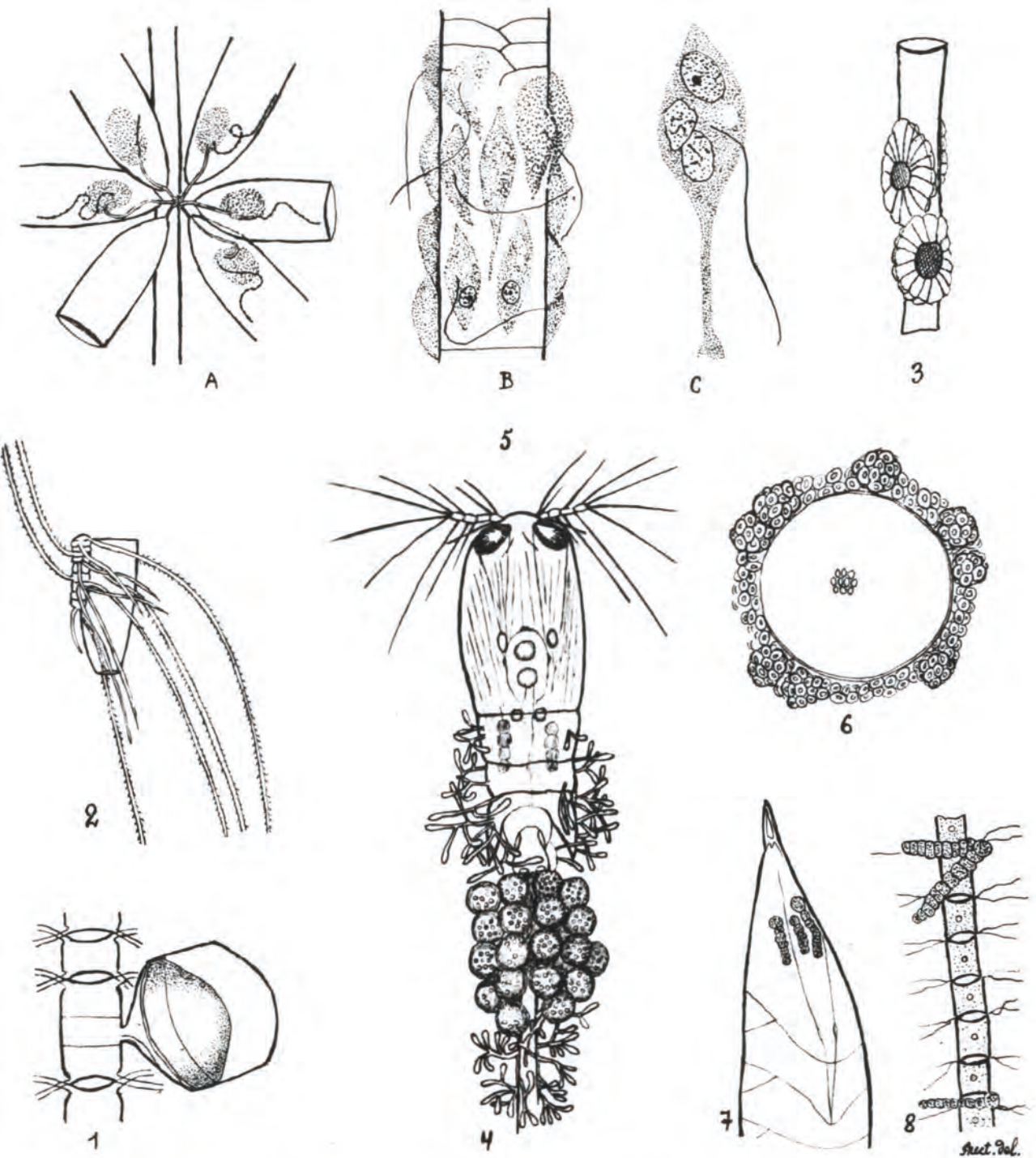
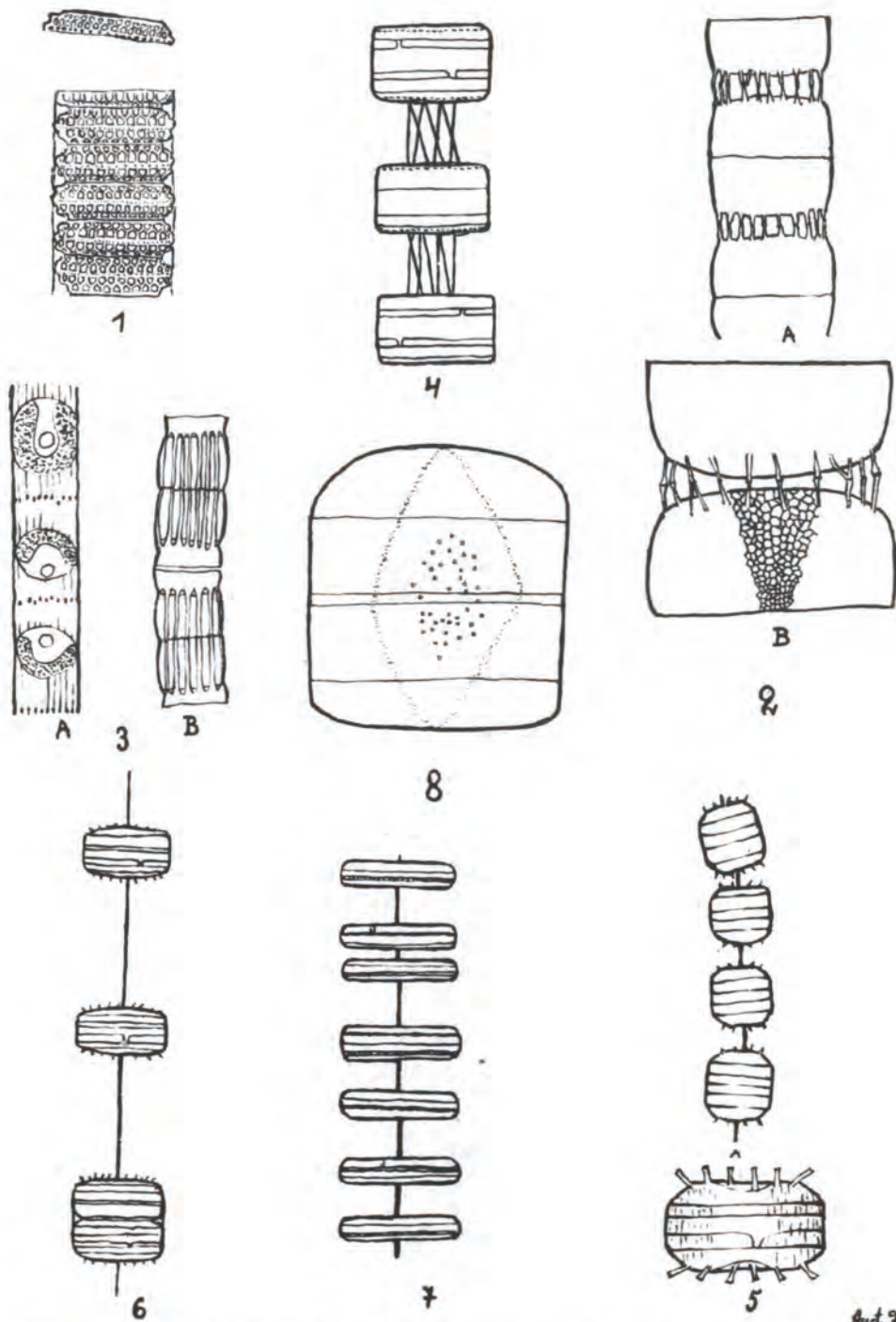


Fig. 1. *Chaetoceros eibenii* : auxospore, d'après Pavillard; fig. 2. *Chaetoceros dadayi*, épiphyte sur *Tintinnus inquilinus*, d'après Pavillard; fig. 3. *Planctoniella sol*, épiphyte sur *Eutintinnus lusus undae*, d'après Rampi; fig. 4. *Licmophora abbreviata*, épiphyte sur *Corycaeus elongatus* ♀, d'après Giesbrecht; fig. 5. Flagellés inférieurs, épiphytes sur Diatomées : A- « *Bicoeca mediterranea* » sur *Nitzschia seriata*, B-C- « *Solenicola setigera* » sur *Dactyliosolen bergoni*, d'après Pavillard; fig. 6. *Coccolithus sessilis*, épiphyte sur *Coscinodiscus*, d'après Lecal; fig. 7. *Richelia intracellularis* à l'intérieur de *Rhizosolenia semispina*, d'après Pavillard; fig. 8. *Richelia intracellularis*, épiphyte sur *Chaetoceros costatus*, d'après Karsten (in Hustedt).



Aut. Del.

Fig. 1. *Melosira (Paralia) sulcata* (Ehrbg.) Kütz, d'après Smith (in Pavillard); fig. 2. *Stephanopyxis palmeriana* (Grev.) Grun. A-chaîne, d'après Hustedt; B-union de 2 frustules, d'après Pavillard; fig. 3. *Sceletonema costatum* (Grev.) Cleve. A- *in vivo*, B-squelette, d'après Hustedt; fig. 4. *Coscinosira polychorda* Grun, d'après Meunier (in Pavillard); fig. 5. *Thalassiosira nordenskioldi* Cleve : A-chaîne, B-frustule isolée, vue de profil, d'après Hustedt; fig. 6. *Thalassiosira decipiens* (Grun.) Jörgensen, d'après Meunier (in Pavillard); fig. 7. *Thalassiosira rotula* Meunier, d'après Meunier (in Pavillard); fig. 8. *Ethmodiscus gazellae* (Janisch) Hustedt, d'après Pavillard.

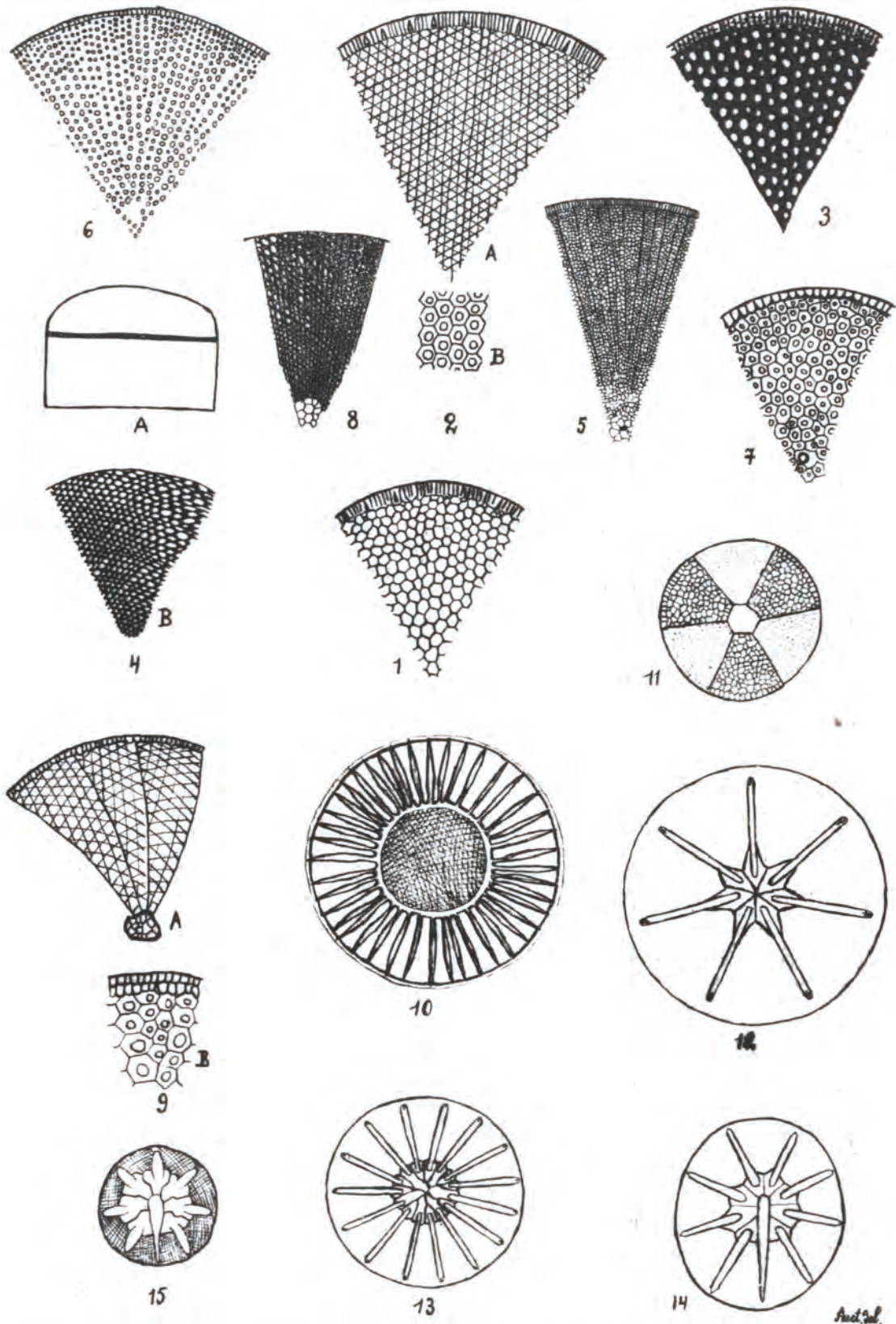
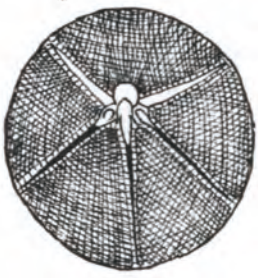
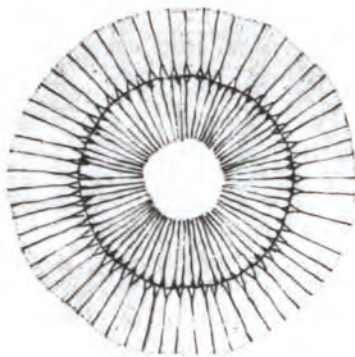


Fig. 1. *Coscinodiscus excentricus* Ehrbg., d'après Hustedt; fig. 2, A et B. *Coscinodiscus lineatus* Ehrbg., d'après Hustedt; fig. 3. *Coscinodiscus radiatus* Ehrbg., d'après Hustedt; fig. 4. *Coscinodiscus alborani* Pavillard : A-frustule de profil, d'après Pavillard, B-ornementation de surface, d'après Hustedt; fig. 5. *Coscinodiscus centralis* Ehrbg., d'après Hustedt; fig. 6. *Coscinodiscus perforatus* Ehrbg., d'après Hustedt; fig. 4. *Coscinodiscus alborani* Pavillard : A-frustule de profil, d'après Pavillard, B-ornementation de surface, d'après Hustedt; fig. 5. *Coscinodiscus centralis* Ehrbg., d'après Hustedt; fig. 6. *Coscinodiscus perforatus* Ehrbg., d'après Hustedt; fig. 7. *Coscinodiscus nodulifer* Schmidt, d'après Hustedt; fig. 8. *Coscinodiscus thori* Pav., d'après Pavillard; fig. 9. *Coscinodiscus curvatulus* Grunow : A-frustule de face, B-détail de l'ornementation, d'après Hustedt; fig. 10. *Planctoniella sol* (Wall.) Schütt, d'après Schmidt; fig. 11. *Actinoptychus undulatus* (Bail.) Ralfs, d'après Peragallo (in Pavillard); fig. 12. *Asterolampra marylandica*, var. *gigas* Ehrbg., d'après Peragallo (in Pavillard); fig. 13. *Asterolampra grevillei* (Wall.) Greville, d'après Peragallo; fig. 14. *Asteromphalus flabellatus* (Ereb.) Greville, d'après Schmidt; fig. 15. *Asteromphalus robustus* Castrac., d'après Schmidt (in Pavillard).



1



2



3



A



B

5



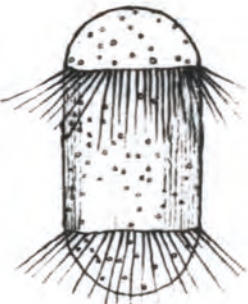
6



8



10



4



9



7



11

Fig. 1. *Asteromphalus arachne* (Breb.) Ralfs, d'après Schmidt (in Pavillard); fig. 2. *Gosleriella tropica* Schütt, d'après Schroeder (in Pavillard); fig. 3. *Actinocyclus ehrenbergi* Ralfs, d'après Peragallo (in Pavillard); fig. 4. *Corethron pelagicum* Bruce, d'après Pavillard; fig. 5. *Schroederella delicatula* (Perag.) Pavillard : A-chaîne, B-union de 2 cellules, d'après Hustedt; fig. 6. *Leptocylindrus danicus* Cleve, avec auxospore, d'après Gran; fig. 7. *Dactyliosolen mediterraneus* Perag., d'après Hustedt; fig. 8. *Lauderia borealis* Gran, d'après Gran; fig. 9. *Guinardia flaccida* (Perag.), d'après Peragallo (in Hustedt); fig. 10. *Guinardia blavyana* Perag., d'après Peragallo (in Pavillard); fig. 11. *Rhizosolenia fragilissima* Bergon, d'après Gran.

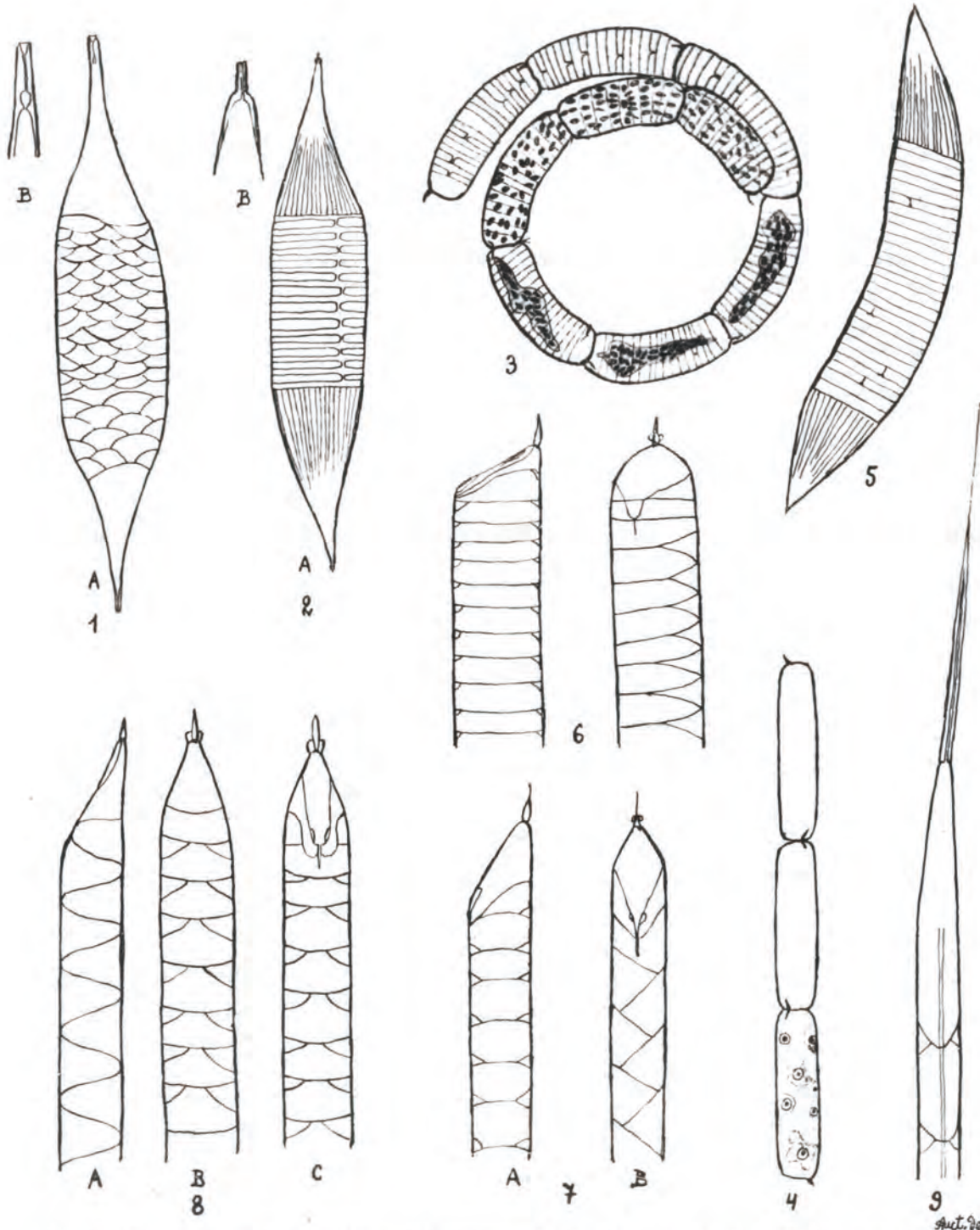
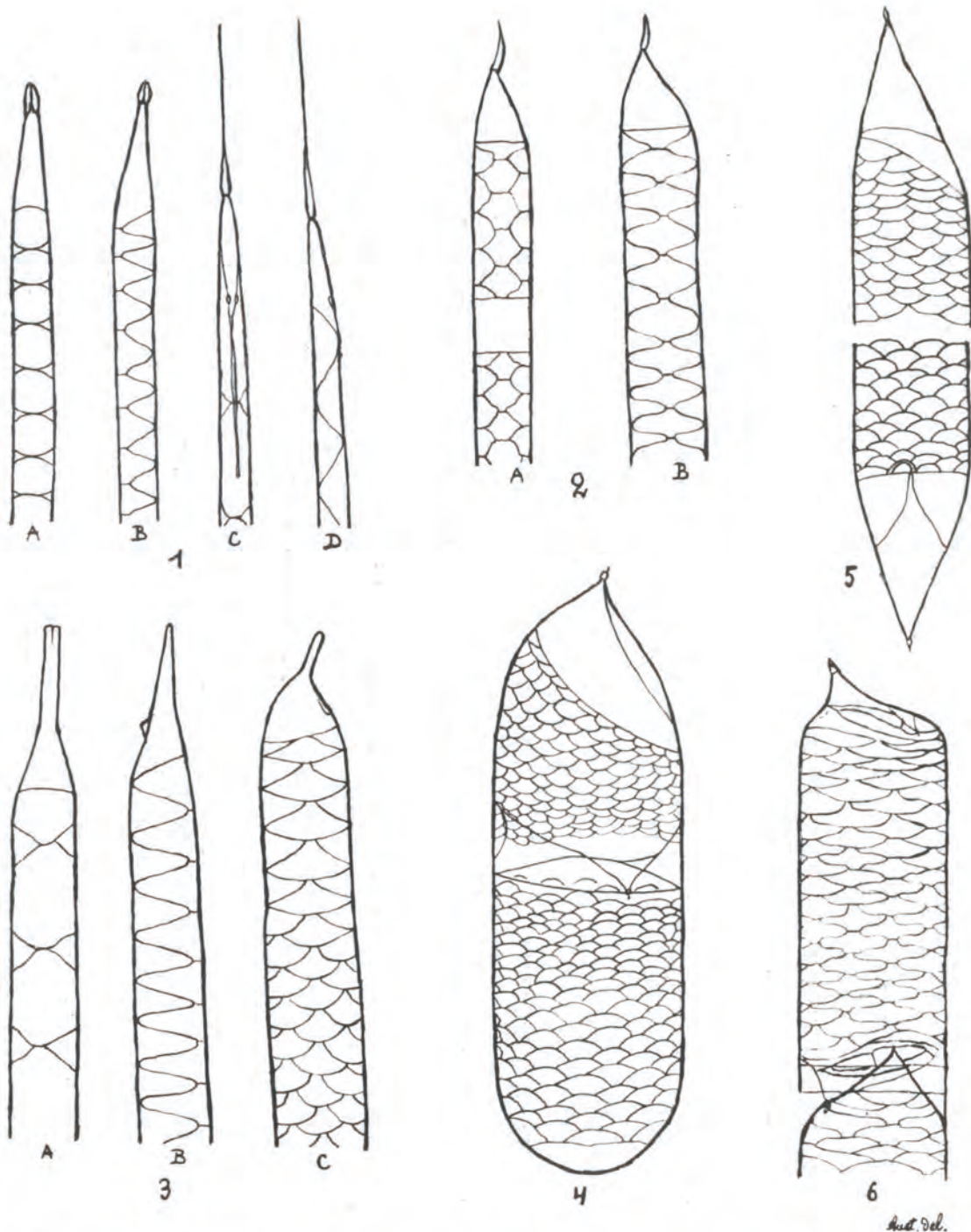


Fig. 1. A-*Rhizosolenia bergoni* Perag., B-mucron, d'après Hustedt; fig. 2. A-*Rhizosolenia* Karsten, B-mucron, d'après Pavillard; fig. 3. *Rhizosolenia stollerfothii* Perag. (in Pavillard); fig. 4. *Rhizosolenia delicatula* Perag., d'après Hustedt; fig. 5. *Rhizosolenia robusta* Norman, d'après Hustedt; fig. 6. *Rhizosolenia imbricata* Bright.; A-vue latérale, B-vue ventrale, d'après Hustedt; fig. 7. *Rh. imbricata* Br., var. *shrubsolei* (Cleve) Schroeder : A-vue latérale, B-vue ventrale, d'après Hustedt; fig. 8. *Rhizosolenia styliiformis* Bright. : A-vue latérale, B-vue dorsale, C-vue ventrale, d'après Hustedt; fig. 9. *Rhizosolenia setigera* Brightw., vue ventrale, d'après Hustedt.



Aut. Del.

Fig. 1. A-B. *Rhizosolenia hebetata* (Bail.) Gran. A-vue dorsoventrale, V-vue latérale; C-D. *Rh. hebetata*, var. *semispina* (Hensen) Gran : C-vue ventrale, B-vue latérale, d'après Hustedt; fig. 2. *Rhizosolenia calcar avis* Schultze. A-vue dorsale, B-vue latérale, d'après Hustedt; fig. 3. A-B. *Rhizosolenia alata* Bright. A-vue dorsale, B-vue latérale, C-*Rh. alata*, forma *indica* (Perag.) Ostenfeld, montrant le polymorphisme des bandes intercalaires, d'après Hustedt; fig. 4. *Rhizosolenia temperei* Perag., d'après Peragallo; fig. 5. *Rhizosolenia acuminata* (Perag.), d'après Peragallo; fig. 6. *Rhizosolenia castracanei* Perag., d'après Peragallo.

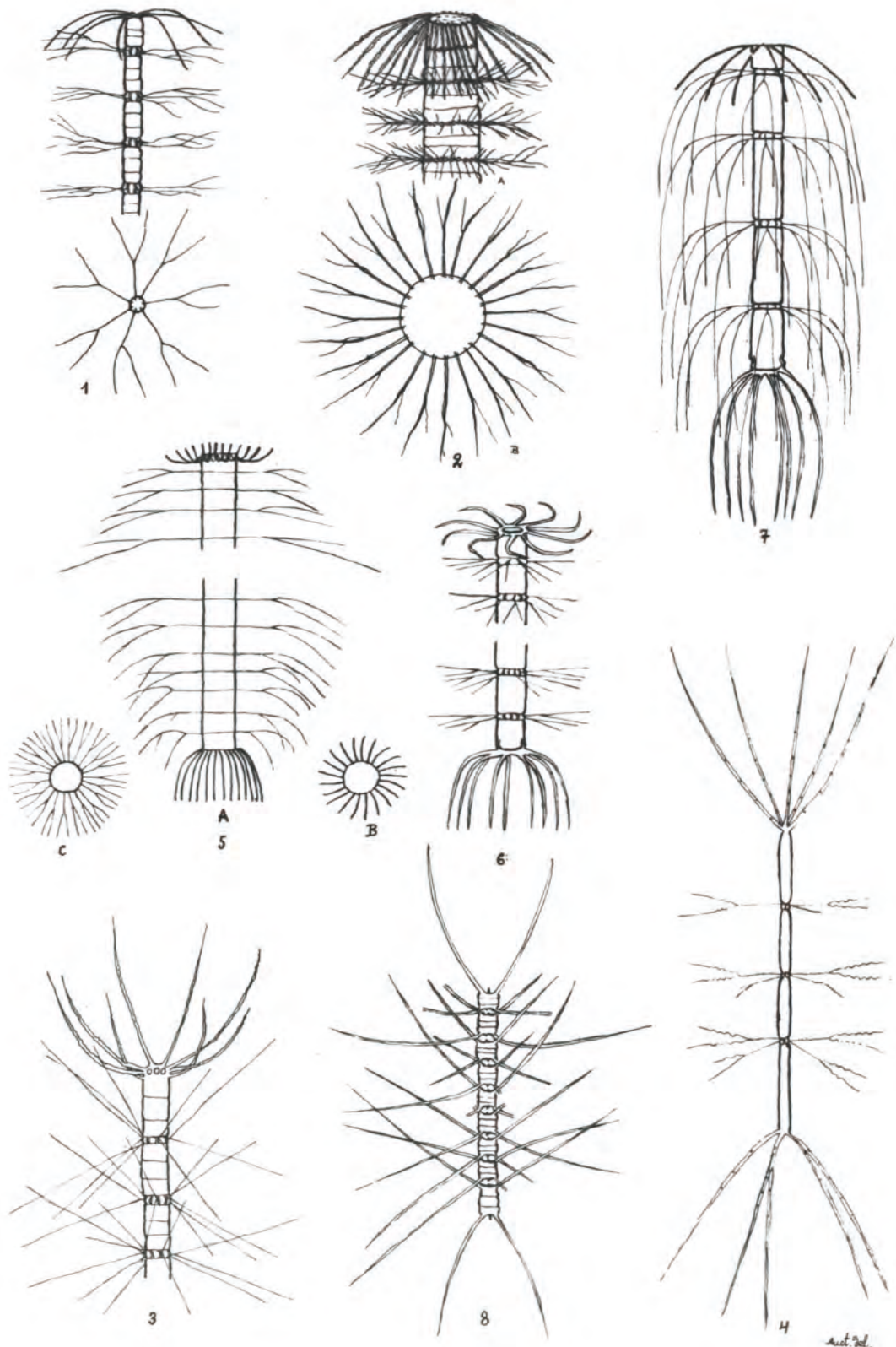


Fig. 1. *Bacteriastrum delicatulum* Cleve, d'après Hustedt; fig. 2. *Bacteriastrum hyalinum* Lauder, d'après Hustedt; fig. 3. *Bacteriastrum elongatum* Cleve, d'après Hustedt; fig. 4. *Bacteriastrum biconicum* Pavill., d'après Pavillard; fig. 5. *Bacteriastrum mediterraneum* Pavill. : A, B, d'après Pavillard, C, d'après Hustedt; fig. 6. *Bacteriastrum elegans* Pavill., d'après Pavillard; fig. 7. *Bacteriastrum comosum* Pavill., d'après Pavillard; fig. 8. *Chaetoceros atlanticum* Cleve, d'après Hustedt.

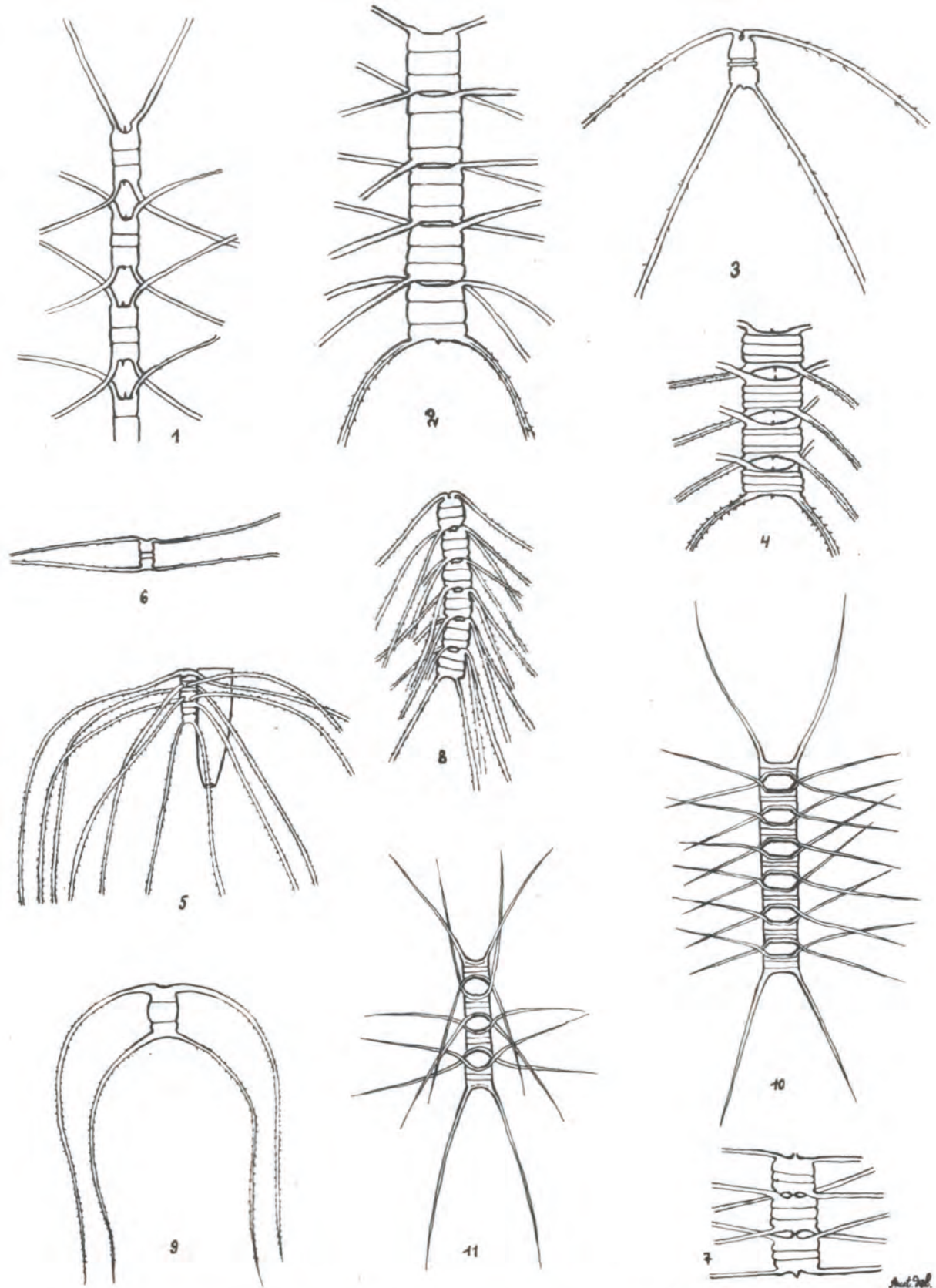


Fig. 1. *Chaetoceros atlanticum* Cleve, var. *neapolitanum* (Schroeder) Hustedt, d'après Hustedt; fig. 2. *Chaetoceros densus* Cleve, d'après Hustedt; fig. 3. *Chaetoceros peruvianus* Bright., d'après Hustedt; fig. 4. *Chaetoceros eibenii* Grunow, d'après Meunier (in Hustedt); fig. 5. *Chaetoceros tetrastichon* Cleve, épiphyte sur *Tintinnus inquilinus*, d'après Pavillard; fig. 6. *Chaetoceros danicus* Cleve, d'après Hustedt; fig. 7. *Chaetoceros rostratus* Lauder, d'après Pavillard; fig. 8. *Chaetoceros convolutus* Castr., d'après Hustedt; fig. 9. *Chaetoceros saltans* Cleve, d'après Cleve; fig. 10. *Chaetoceros decipiens* Cleve, d'après Hustedt; fig. 11. *Chaetoceros lorenzianus* Grun., d'après Margalef.

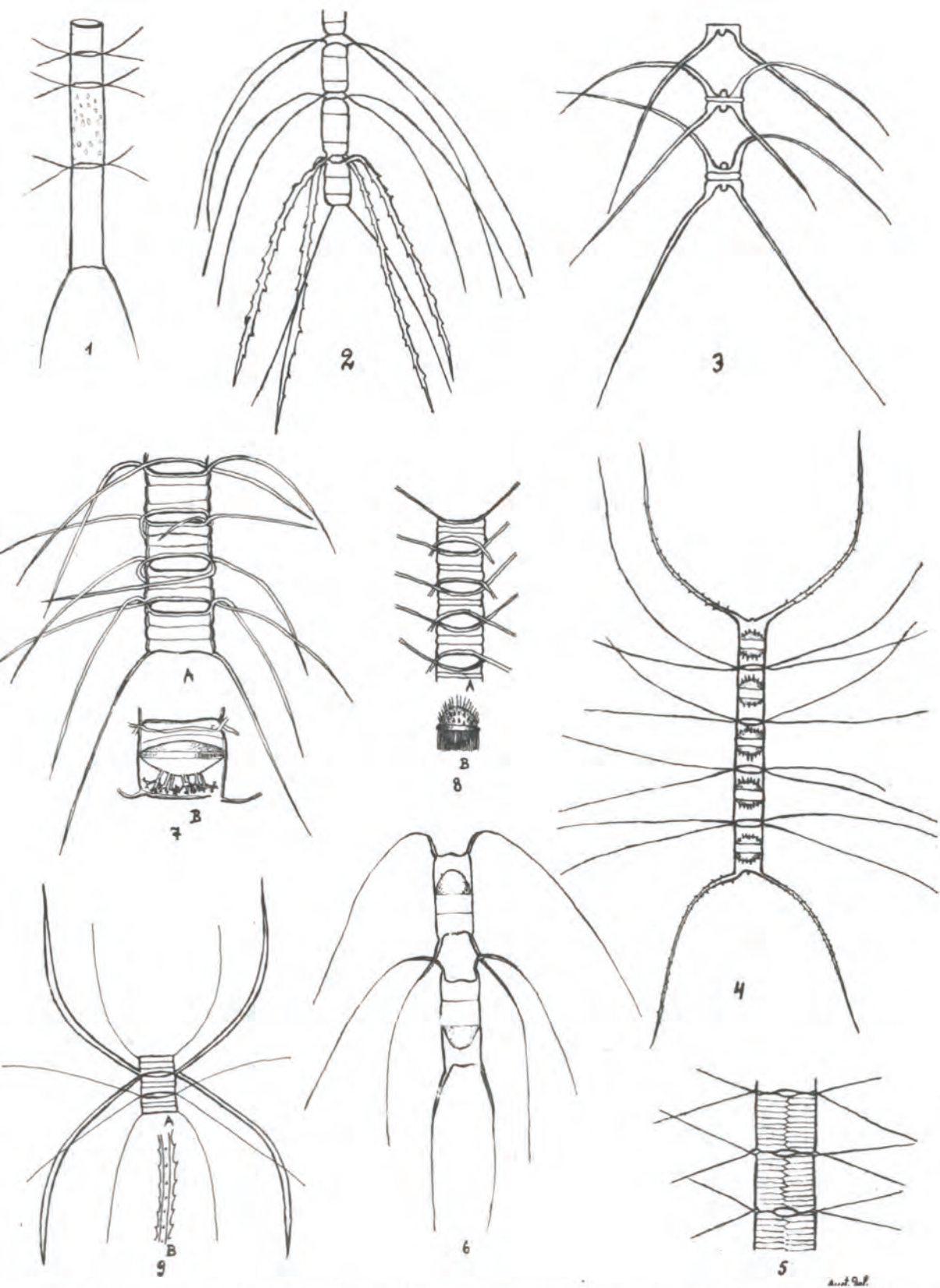


Fig. 1. *Chaetoceros lauderi* Ralfs, d'après Meunier; fig. 2. *Chaetoceros compressus* Lauder, d'après Hustedt; fig. 3. *Chaetoceros didymus* Ehrbg., var. *anglica* (Grun.) Gran, d'après Hustedt; fig. 4. *Chaetoceros affinis* Lauder avec endospore, d'après Hustedt; fig. 5. *Chaetoceros costatus* Pavill., d'après Pavillard; fig. 6. *Chaetoceros lacinosus* Schütt avec jeunes endospores, d'après Hustedt; fig. 7. *Chaetoceros subsecundus* (Gran) Hustedt : A-chaîne, B-endospore, d'après Gran; fig. 8. *Chaetoceros seriacanthus* Gran. A-chaîne, B-endospore, d'après Meunier; fig. 9. *Chaetoceros diversus* Cleve. A-chaîne, B-partie d'une corne du milieu de la chaîne, d'après Hustedt.

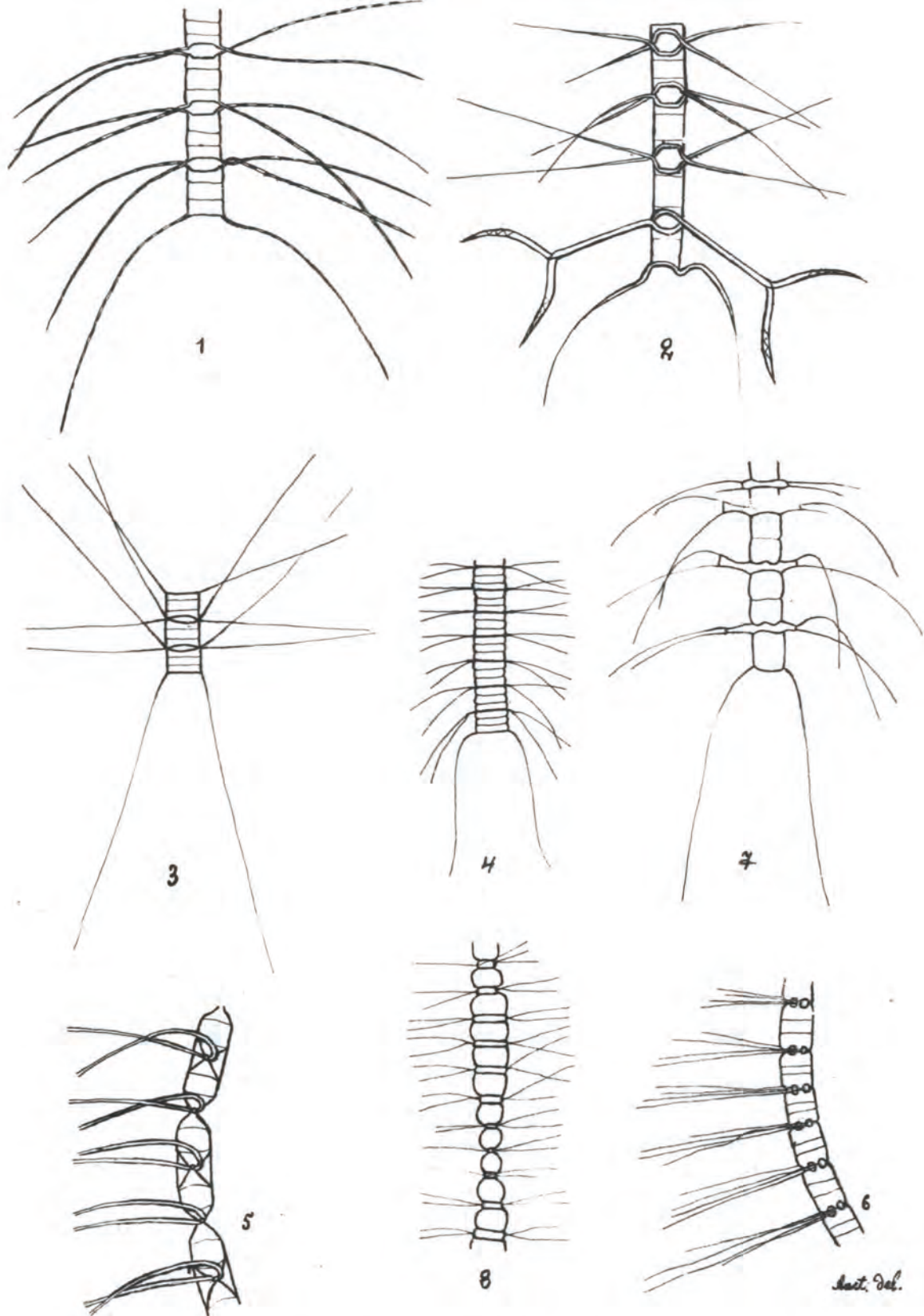
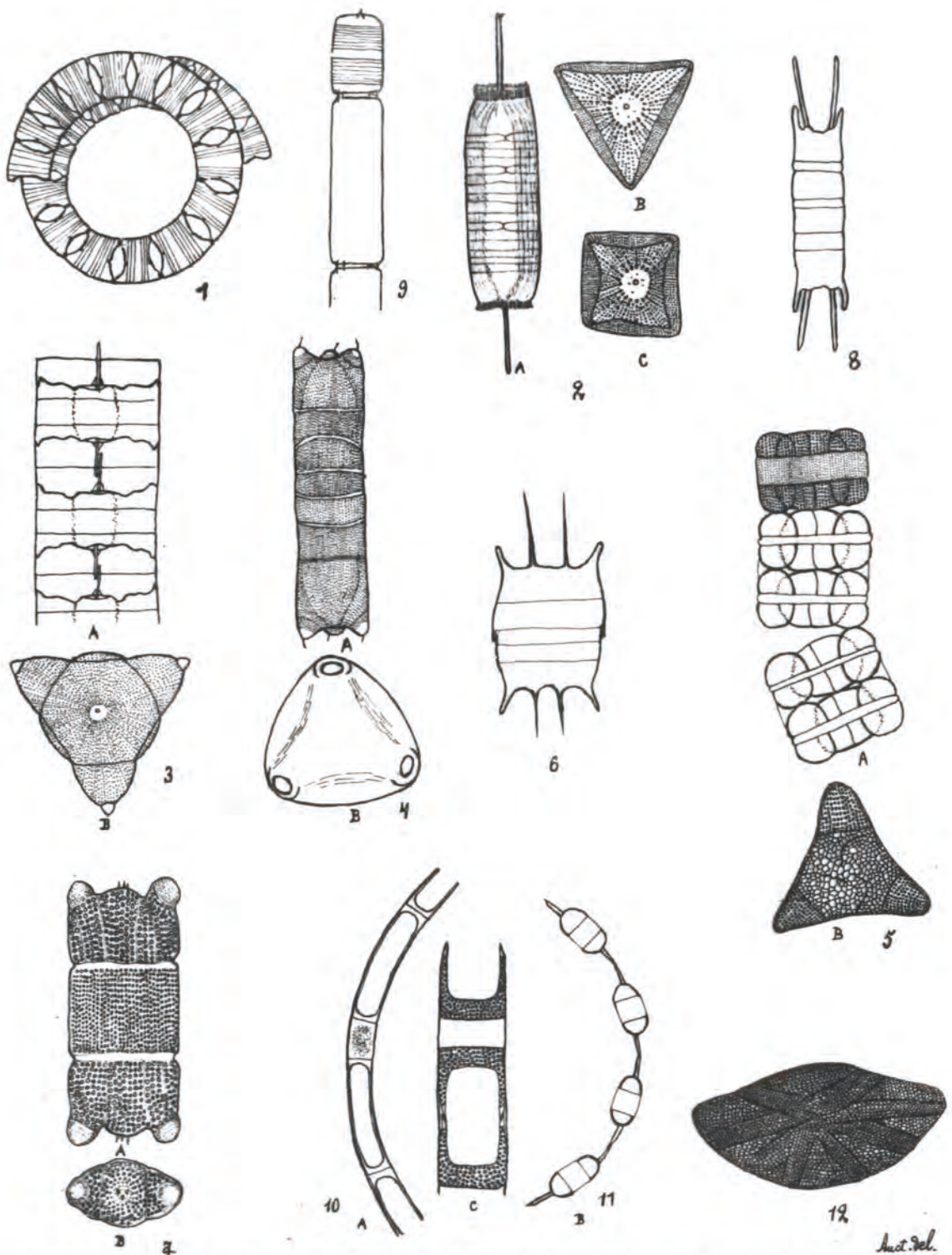


Fig. 1. *Chaetoceros brevis* Schütt, d'après Schiller; fig. 2. *Chaetoceros messanensis* Castr., d'après Hustedt; fig. 3. *Chaetoceros wighamii* Bright., d'après Hustedt; fig. 4. *Chaetoceros crinitus* Schütt, d'après Pavillard; fig. 5. *Chaetoceros curvisetus* Cleve, d'après Hustedt; fig. 6. *Chaetoceros pseudocurvisetus* Mangin, d'après Hustedt; fig. 7. *Chaetoceros anastomosans* Grun., d'après Schussing; fig. 8. *Chaetoceros tortissimus* Gran, d'après Gran.

Aut. Del.



Aut. Del.

Fig. 1. *Eucampia zodiacus* Ehrenb., d'après Smith; fig. 2. *Ditylum brightvillei* (West.) Grunow. A-, d'après Meunier; B-valve; C-valve de la var. *tetragona* Grun., d'après Hustedt; fig. 3. *Lithodesmium undulatum* Ehrbg. A-chaîne, B-valve, d'après Hustedt; fig. 4. *Triceratium shadboltianum* Grev.; A-forma *elongata* Grun., B-aspect valvaire du type, d'après Hustedt; fig. 5. *Triceratium alternans* Bail. : A-chaîne, B-aspect valvaire, d'après Hustedt; fig. 6. *Biddulphia mobiliensis* Bail., d'après Hustedt; fig. 7. *Biddulphia pulchella* Gray : A-frustule vue par la ceinture, B-aspect valvaire, d'après Smith; fig. 8. *Biddulphia regia* (Schultze) Ostensfeld, d'après Hustedt; fig. 9. *Cerataulina bergoni* Perag., d'après Peragallo; fig. 10. *Hemiaulus heurckii* Grun., d'après Pavillard; fig. 11. *Hemiaulus sinensis* Grev. : A-d'après Hustedt, B-d'après Peragallo (*in* Pavillard); fig. 12. *Hemidiscus* (*Euodia*) *cuneiformis* Wall., forma *orbicularis* (Castr.) Hustedt, d'après Hustedt.

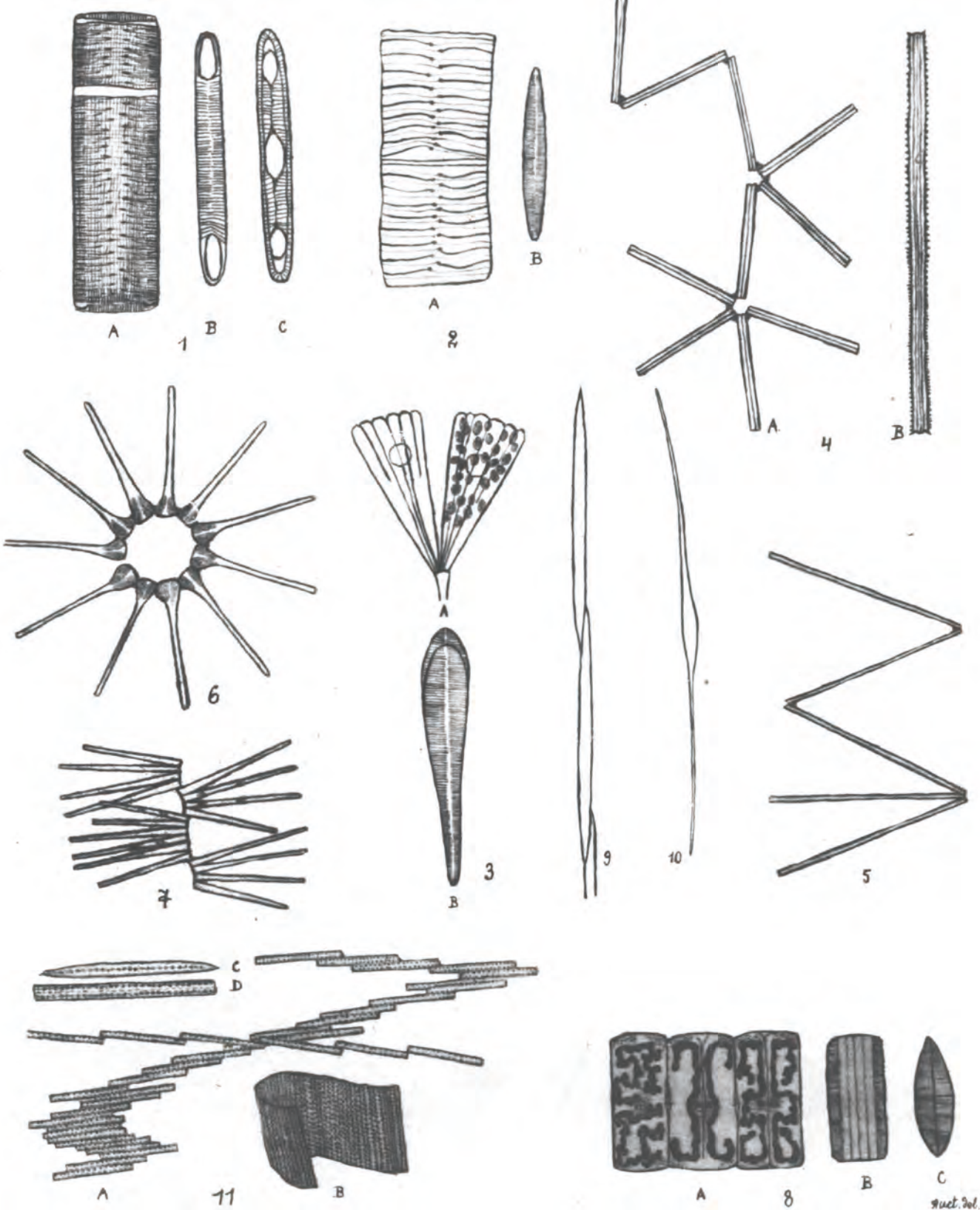


Fig. 1. *Rhabdonema adriaticum* Kütz.; A-frustule, d'après Peragallo, B-valve, C-bandes intercalaires, d'après Karsten; fig. 2. *Striatella interrupta* (Ehrbg.) Heiberg. A-frustule, B-valve, d'après Hustedt; fig. 3. *Licmophora abbreviata* Agardh. A-Colonie, d'après Karsten, B-valve avec septum et pseudoraphe, d'après Hustedt; fig. 4. *Thalassionema nitzschioides* Grun.; A-chaîne, B-frustule vue par la ceinture, d'après Hustedt; fig. 5. *Thalassiothrix frauenfeldi* Grun., d'après Pavillard; fig. 6. *Asterionella japonica* Cleve, d'après Hustedt; fig. 7. *Asterionella notata* Grun., d'après Pavillard; fig. 8. *Navicula membranacea* Cleve. A-chaîne *in vivo*, B-frustule vue par la ceinture, C-aspect valvaire, d'après Meunier; fig. 9. *Nitzschia seriata* Cleve, chaîne, d'après Gran; fig. 10. *Nitzschia longissima* Ralfs, d'après Peragallo; fig. 11. *Bacillaria paradoxa* Gmelin. A-chaîne en mouvement, B-chaîne en forme de jalousie, C-aspect valvaire, D-frustule vue par la ceinture, d'après Smith.